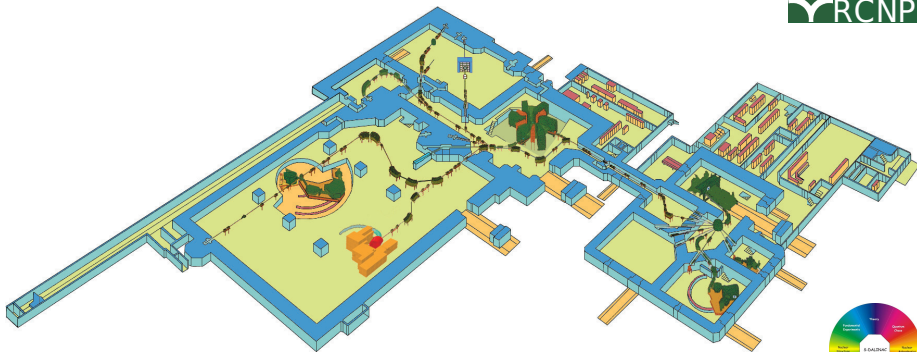


Polarisationstransferkoeffizienten aus hochauflösender Streuung polarisierter Protonen an ^{120}Sn unter 0°



TECHNISCHE
UNIVERSITÄT
DARMSTADT

Johannes Simonis - Bachelor Vortrag



Gefördert durch die DFG im Rahmen des SFB 634 and 446JAP 113/267/0-2.



- ▶ Motivation
- ▶ Theoretische Grundlagen
- ▶ Experimenteller Aufbau am RCNP in Osaka, Japan
- ▶ Datenanalyse
- ▶ Ergebnisse
- ▶ Zusammenfassung und Ausblick

Extraktion der kompletten E1 und Spin-M1 Stärkeverteilung in ^{120}Sn



- ▶ E1: $^{120}\text{Sn}(\gamma, \gamma')$ Experiment am S-DALINAC
B. Özel, Ph.D. thesis, Çukurova University, Adana, Turkey (2008)
 - ▶ abweichende theoretische Vorhersagen für Zentroidenergie und summierte Stärke der PDR
 - ▶ Zusammenhang zwischen Stärkeverteilung und Dicke der Neutronenhaut
- ▶ Dipolstärkeverteilung nahe der Neutronenseparationsschwelle relevant für die Nukleosynthese (r-Prozess)
- ▶ Spin-M1: $^{120}\text{Sn}(p, p')$ Experimente bei $E_p = 200 \text{ MeV}$ unter 4°
 - ▶ keine Anzeichen für resonanzartige Struktur bei niedrigen Energien Bertrand et al., *Phys. Lett. B* 103 (1981) 326.
 - ▶ Bump nahe 8, 4 MeV mit Spinflip M1 Charakter Djalali et al., *Nucl. Phys. A* 388 (1982) 1.

- ▶ Kernresonanzfluoreszenz (KRF)
 - ▶ große Sensitivität auf Dipolanregungen
 - ▶ hohe Energieauflösung (einige keV)
 - ▶ Messung öfter nur bis zur Teilchenseparationsschwelle wegen (γ, n) -Reaktion
 - ▶ Wirkungsquerschnitt $\propto \Gamma_0 \frac{\Gamma_0}{\Gamma}$
 - ▶ Annahme: $\frac{\Gamma_0}{\Gamma} = 1 \rightarrow$ unteres Limit für Wirkungsquerschnitt
 - ▶ Zugang über statistische Modellrechnung \rightarrow oberes Limit
Rusev et al., *Phys. Rev. C* 79 (2009) 061302.

- ▶ Kernresonanzfluoreszenz (KRF)
 - ▶ große Sensitivität auf Dipolanregungen
 - ▶ hohe Energieauflösung (einige keV)
 - ▶ Messung öfter nur bis zur Teilchenseparationsschwelle wegen (γ, n) -Reaktion
 - ▶ Wirkungsquerschnitt $\propto \Gamma_0 \frac{\Gamma_0}{\Gamma}$
 - ▶ Annahme: $\frac{\Gamma_0}{\Gamma} = 1 \rightarrow$ unteres Limit für Wirkungsquerschnitt
 - ▶ Zugang über statistische Modellrechnung \rightarrow oberes Limit
Rusev et al., *Phys. Rev. C* 79 (2009) 061302.
- ▶ (γ, x) Experimente messen nur oberhalb der Teilchenseparationsschwelle

Experimenteller Zugang zur Untersuchung der Dipolstärkeverteilung

- ▶ Kernresonanzfluoreszenz (KRF)
 - ▶ große Sensitivität auf Dipolanregungen
 - ▶ hohe Energieauflösung (einige keV)
 - ▶ Messung öfter nur bis zur Teilchenseparationsschwelle wegen (γ, n) -Reaktion
 - ▶ Wirkungsquerschnitt $\propto \Gamma_0 \frac{\Gamma_0}{\Gamma}$
 - ▶ Annahme: $\frac{\Gamma_0}{\Gamma} = 1 \rightarrow$ unteres Limit für Wirkungsquerschnitt
 - ▶ Zugang über statistische Modellrechnung \rightarrow oberes Limit
Rusev et al., *Phys. Rev. C* 79 (2009) 061302.
- ▶ (γ, x) Experimente messen nur oberhalb der Teilchenseparationsschwelle
- ▶ bisherige (p, p') : große experimentelle Unsicherheiten

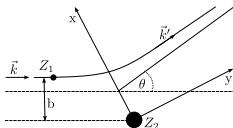
Experimenteller Zugang zur Untersuchung der Dipolstärkeverteilung

- ▶ Kernresonanzfluoreszenz (KRF)
 - ▶ große Sensitivität auf Dipolanregungen
 - ▶ hohe Energieauflösung (einige keV)
 - ▶ Messung öfter nur bis zur Teilchenseparationsschwelle wegen (γ, n) -Reaktion
 - ▶ Wirkungsquerschnitt $\propto \Gamma_0 \frac{\Gamma_0}{\Gamma}$
 - ▶ Annahme: $\frac{\Gamma_0}{\Gamma} = 1 \rightarrow$ unteres Limit für Wirkungsquerschnitt
 - ▶ Zugang über statistische Modellrechnung \rightarrow oberes Limit
Rusev et al., *Phys. Rev. C* 79 (2009) 061302.
- ▶ (γ, x) Experimente messen nur oberhalb der Teilchenseparationsschwelle
- ▶ bisherige (p, p') : große experimentelle Unsicherheiten

\Rightarrow hochauflösende (\vec{p}, \vec{p}') unter 0°
als neues experimentelles Tool

- ▶ Messung unterhalb und oberhalb der Teilchenseparationsschwelle
- ▶ hohe Energieauflösung ($\Delta E/E \approx 8 \cdot 10^{-5}$)
- ▶ unter 0° Selektivität auf Übergänge mit kleinem ΔL
 - ▶ Coulomb Anregung (E1, $\Delta L = 1$)
 - ▶ Spin-Isospin-Anteil der Proton-Kern-Ww. (Spin-M1, $\Delta L = 0$)
- ▶ zwei unabhängige Methoden zur Trennung der E1 und Spin-M1 Anteile am Wirkungsquerschnitt
 - ▶ Multipolentfaltung der Winkelverteilung
 - ▶ Polarisationstransferkoeffizienten
- ▶ Referenzfall: ^{208}Pb
 - ▶ I. Poltoratska, Doctoral thesis, TU Darmstadt, (2011)

- ▶ klassisch



- ▶ differentieller Wirkungsquerschnitt

$$\frac{d\sigma}{d\Omega} = \left(\frac{1}{4\pi\epsilon_0} \frac{Z_1 Z_2 e^2 v_0}{2qc^2} \frac{1}{\sin\left(\frac{\theta}{2}\right)} \right)^2$$

mit Impulsübertrag $q = |\vec{k} - \vec{k}'|$

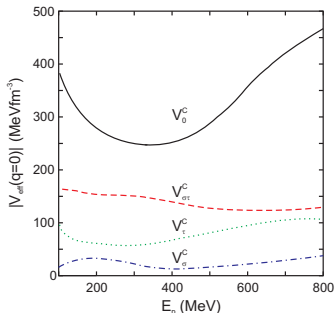
- ▶ virtuelle Photonenmethode

$$\frac{d\sigma}{d\Omega} = \int \sigma_{\gamma}^{E1}(E_{\gamma}) \frac{dN_{E1}(E_{\gamma})}{d\Omega} \frac{1}{E_{\gamma}} dE_{\gamma}$$
$$\propto B(E1)$$

mit Photoabsorptions-
wirkungsquerschnitt $\sigma_{\gamma}^{E1}(E_{\gamma})$
Bertulani et al., *Phys. Rep.* 163 (1988) 299.

Für Impulsüberträge $q < 1 \text{ fm}^{-1}$ ist der Spin-Orbit- und der Tensor-Term der eff. Ww. klein im Vergleich zum zentralen Term

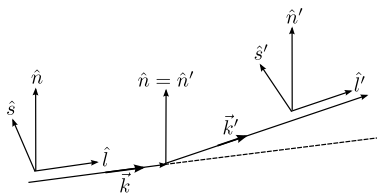
$$V_{ip}(r_{ip}) = V_0^C(r_{ip}) + V_\sigma^C(r_{ip}) \vec{\sigma}_i \cdot \vec{\sigma}_p + V_\tau^C(r_{ip}) \vec{\tau}_i \cdot \vec{\tau}_p + V_{\sigma\tau}^C(r_{ip}) \vec{\sigma}_i \cdot \vec{\sigma}_p \vec{\tau}_i \cdot \vec{\tau}_p$$



- ▶ Messungen mit $E_p = 300 \text{ MeV}$
- ▶ V_0^C hat Minimum; $V_{\sigma\tau}^C > V_\sigma^C, V_\tau^C$
⇒ Spin-Isospin Anregungen
- ▶ Besonders: Spin-M1

Love et al., *Phys. Rev. C* 24 (1981) 1073.

Theoretische Grundlagen - Polarisationstransferkoeffizienten



Vollständiger Spintransfer

$$\Sigma = \frac{3 - (D_{NN'} + D_{SS'} + D_{LL'})}{4}$$

Unter 0° : $D_{SS} = D_{NN}$

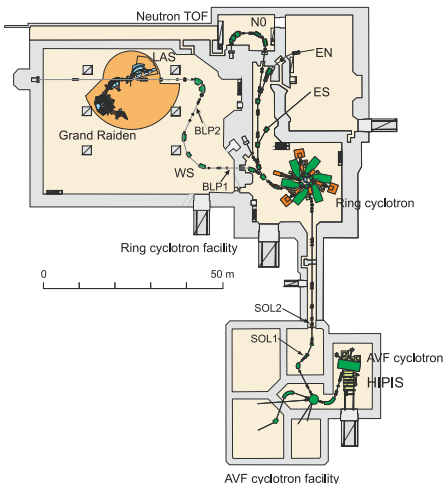
$$\Sigma = \frac{3 - (2D_{SS} + D_{LL})}{4} = \begin{cases} 1 & \text{Spinflip} \\ 0 & \text{nicht-Spinflip} \end{cases}$$

Bestimmung der Anteile am Wirkungsquerschnitt:

$$\frac{d\sigma}{d\Omega} (\Delta S = 1) \equiv \Sigma \left(\frac{d\sigma}{d\Omega} \right) \quad \rightarrow \text{Spin - M1 Anregung}$$

$$\frac{d\sigma}{d\Omega} (\Delta S = 0) \equiv (1 - \Sigma) \left(\frac{d\sigma}{d\Omega} \right) \quad \rightarrow \text{E1 Anregung}$$

Experimenteller Aufbau am Research Center for Nuclear Physics in Osaka, Japan

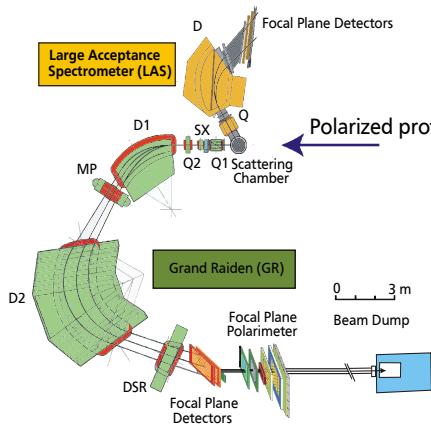


- ▶ $E_p = 295 \text{ MeV}$
- ▶ Dispersion Matching: $\Delta E = 25 - 30 \text{ keV}$
- ▶ Strahlintensität: $1 - 5 \text{ nA}$
- ▶ Polarisationsgrad: 70%
- ▶ period. Umkehrung der Spinrichtung zur Elimination der Asymmetrie des Aufbaus

Gemessene Größen:

- ▶ $d\sigma/d\Omega @ 0^\circ, 2.5^\circ, 4^\circ$
- ▶ $D_{SS} @ 0^\circ$: seitliche Polarisationstransferobservable
- ▶ $D_{LL} @ 0^\circ$: longitudinale Polarisationstransferobservable

Grand Raiden (GR) und Large Acceptance Spektrometer (LAS)

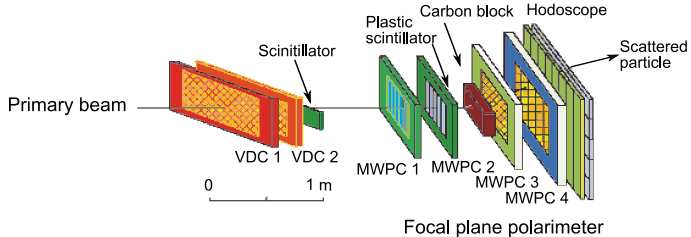


LAS

- ▶ Impulsauflösung:
 $p/\Delta p \approx 4980$
- ▶ Impulsakzeptanz: $\pm 15\%$

GR

- ▶ Impulsauflösung:
 $p/\Delta p \approx 37000$
- ▶ Impulsakzeptanz: $\pm 2,5\%$
- ▶ Dipolmagnet für Spinrotation (DSR) für D_{LL} Messung



► Fokalebenedetektor:

Messung von Durchstoßpunkten x_{fp} , y_{fp}
sowie Streuwinkeln θ_{fp} , ϕ_{fp}

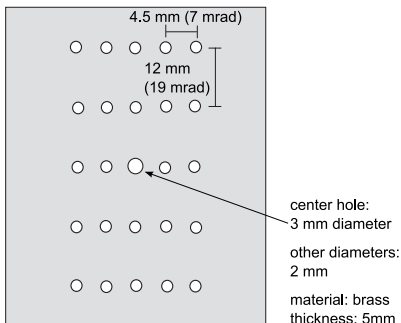
► Fokalebene polarimeter:

Messung der seitlichen Polarisation p''_S
nach zweitem Streuprozess im
Kohlenstoff Block

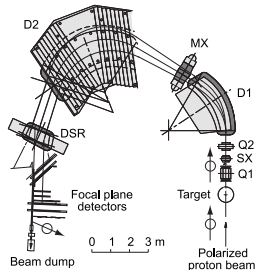


- ▶ Konversion der Driftzeiten zu Driftlängen
- ▶ Rekonstruktion der Streuwinkel am Target
- ▶ Hochauflösungskorrektur
- ▶ Energiekalibrierung
- ▶ Untergrundabzug
- ▶ Bestimmung der Strahlpolarisation

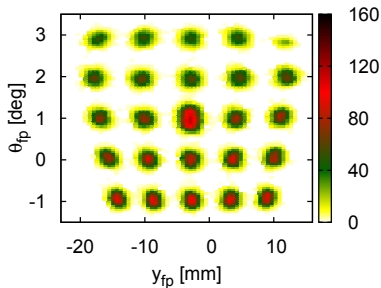
Rekonstruktion der Streuwinkel



- ▶ elastische Streuung an ^{58}Ni ($100, 1 \text{ mg/cm}^2$)
- ▶ $\theta_{GR} = 15,2^\circ$
- ▶ verschiedene Magnetfeld-einstellungen
- ▶ zentral und $\pm 1 \text{ mm}$ (vertikal) für jede Konfiguration



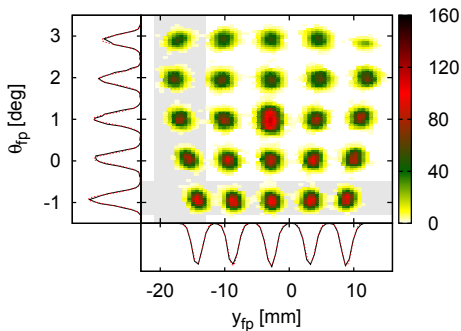
Rekonstruktion der Streuwinkel - Methode



Bestimmung der Mittelpunkte:

- ▶ Berücksichtigung von y_{LAS} und x_{fp}

Rekonstruktion der Streuwinkel - Methode



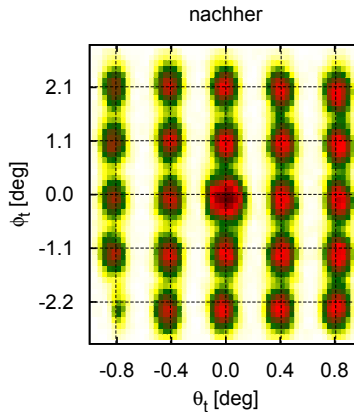
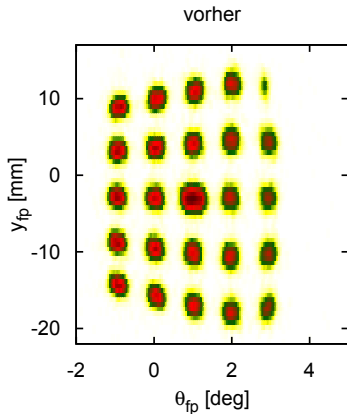
Bestimmung der Mittelpunkte:

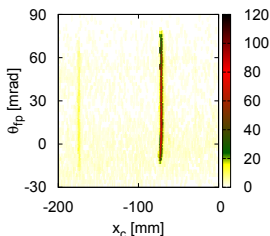
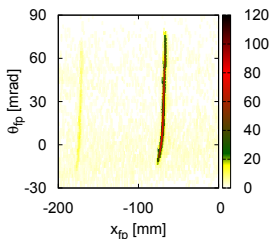
- ▶ Berücksichtigung von y_{LAS} und x_{fp}
- ▶ Auswahl von Bereichen und Projektion
- ▶ Fit mit Gauß-Funktionen
- ▶ Gleiche Prozedur in $y_{fp} - \phi_{fp}$ -Ebene

$$\theta_t(x_{fp}, \theta_{fp}) = \sum_{i=0}^1 \sum_{j=0}^1 a_{ij} \cdot x_{fp}^i \theta_{fp}^j,$$

$$\phi_t(x_{fp}, \theta_{fp}, y_{fp}, \phi_{fp}, y_{LAS}) = \sum_{i=0}^1 \sum_{j=0}^1 \sum_{k=0}^1 \sum_{l=0}^1 b_{ijkl} \cdot x_{fp}^i \theta_{fp}^j y_{fp}^k \phi_{fp}^l + \sum_{i=0}^1 b_{Li} \cdot x_{fp}^i y_{LAS}$$

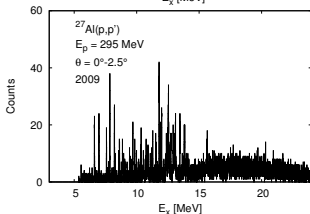
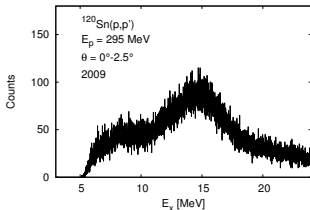
Rekonstruktion der Streuwinkel - Ergebnis





- ▶ ^{12}C : diskrete Linien
- ▶ Krümmung in der Fokalebene
- ▶ Abbildungsfehler (\rightarrow Optik)
- ▶ Polynomialer Fit:

$$x_c = x_{fp} + \sum_{i=0}^1 \sum_{j=1}^4 d_{ij} \cdot x_{fp}^i \theta_{fp}^j$$



- ▶ Energiekalibrierung:
Fit mit ausgewählten Peaks aus ^{27}Al Spektrum
- ▶ Energieverschiebung:
 - ▶ Korrelation von ^{120}Sn Spektren

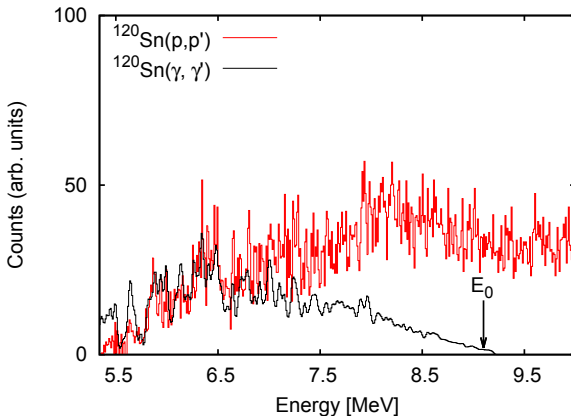
$$r_{xy} = \frac{\sum_{i=1}^n (x_i - \bar{x})(y_i - \bar{y})}{\sqrt{\sum_{i=1}^n (x_i - \bar{x})^2} \sqrt{\sum_{i=1}^n (y_i - \bar{y})^2}}$$

Vergleich mit (γ, γ') Experiment

$^{120}\text{Sn}(\gamma, \gamma')$ Reaktion:

- ▶ $E_0 = 9,1 \text{ MeV}$
- ▶ $\theta = 130^\circ$
- ▶ Gefaltet mit Gauß
 $\Delta E = 30 \text{ keV}$

B. Özel, Ph.D. thesis, Çukurova
University, Adana, Turkey (2008)

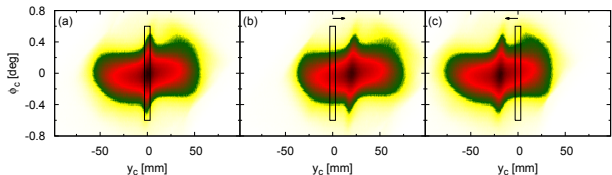
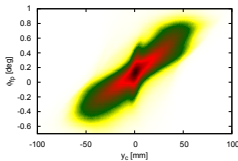


- ▶ Weitere Korrekturen:

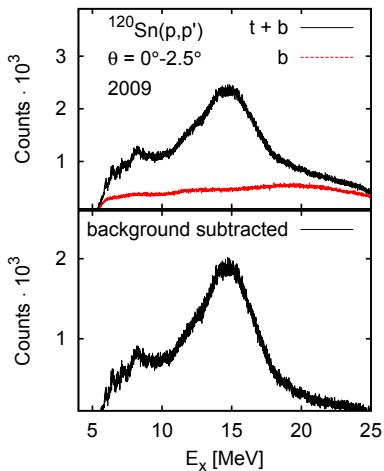
$$y_{fp} \rightarrow y_c = y_{fp} + \sum_{i=0}^1 \sum_{j=0}^1 \sum_{k=0}^1 d_{ijk} \cdot x_{fp}^i \theta_{fp}^j \phi_{fp}^k + d_L \cdot y_{LAS}$$

$$\phi_{fp} \rightarrow \phi_c = \phi_{fp} + \sum_{i=0}^1 e_i \cdot y_{fp}^i$$

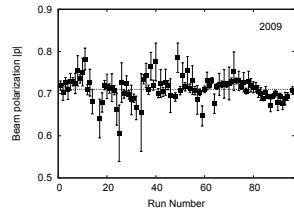
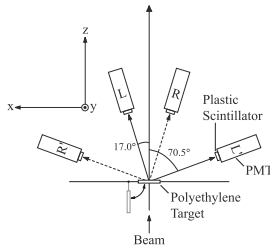
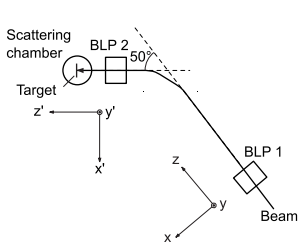
- ▶ Verteilung der wahren Ereignisse um $y_c = 0$
- ▶ Verschiebung um Konstante und anschließende Mittelung
- ▶ Gates bleiben unverändert \Rightarrow modellunabhängig!



Untergrundabzug (2)



Bestimmung der Strahlpolarisation



- ▶ Messung der Asymmetrie im Streuprozess am Polyethylene Target

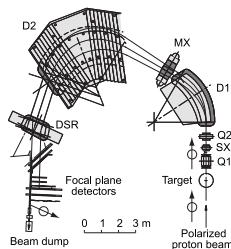
⇒ Bestimmung der normalen (p_N), seitlichen (p_S) und longitudinalen (p_L) Komponente der Strahlpolarisation

Bestimmung der Polarisationstransferkoeffizienten

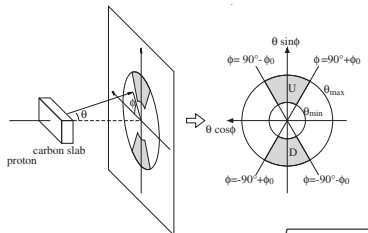
- ▶ seitliche Polarisation nach 2. Streuprozess:

$$\begin{aligned} \rho_S^{''t} &= \cos(\theta_\rho) D_{SS} \rho_S + \sin(\theta_\rho) D_{LL} \rho_L, \\ \rho_S^{''b} &= \cos(\theta_\rho) \rho_S + \sin(\theta_\rho) \rho_L \end{aligned}$$

- ▶ θ_ρ : Präzessionswinkel im Grand Raiden Spektrometer
- ▶ ρ_S, ρ_L : seitliche, longitudinale Strahlpolarisation
- ▶ Annahme für Untergrundereignisse: kein Beitrag zur Depolarisation $D_{SS} = D_{LL} = 1$



Sektor Methode



$$p_S'' = \frac{1}{\langle A_y \rangle_{fpp}} \frac{1 - \alpha}{1 + \alpha} \quad \text{mit } \alpha = \sqrt{\frac{N_U^\uparrow \cdot N_D^\downarrow}{N_D^\uparrow \cdot N_U^\downarrow}}$$

- ▶ Auswahl von Winkelbereichen
- ▶ Rechnung einfach
A. Tamii, Ph.D. thesis, Kyoto University, Japan (1999)

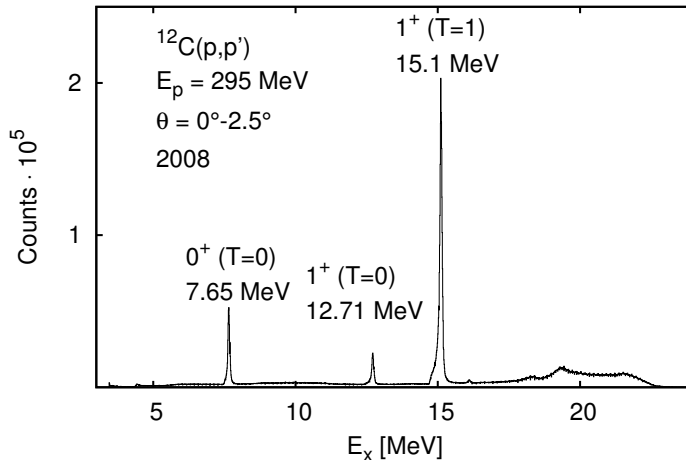
Estimator Methode

$$\frac{\varepsilon_S^t}{\varepsilon_S^b} \quad \text{mit } \varepsilon_S^t = -p_S''^t \langle A_y \rangle_{fpp}$$

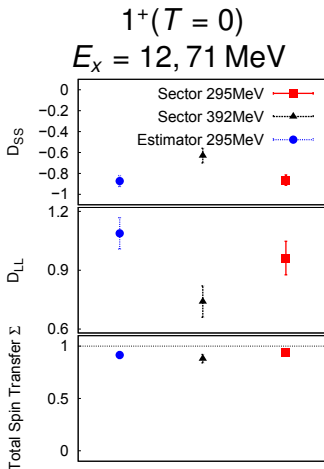
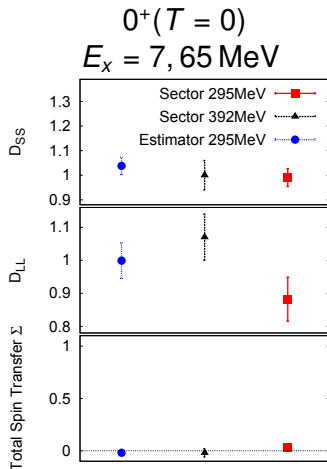
$$\text{und } \varepsilon_S^b = -p_S''^b \langle A_y \rangle_{fpp}$$

- ▶ Berechnung statistischer Fehler mit kovarianter Matrix $V(\hat{\varepsilon})$
- ▶ Nahe an der maximalen Nutzung der Daten
- ▶ Rechnung komplizierter
Besset et al., *Nucl. Instr. Meth.* 166 (1979) 515.

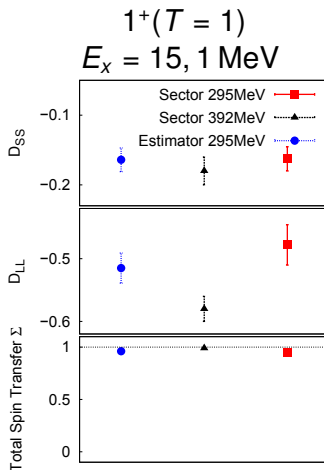
Ergebnisse - $^{12}\text{C}(\vec{p}, \vec{p}') \text{ Spektrum}$



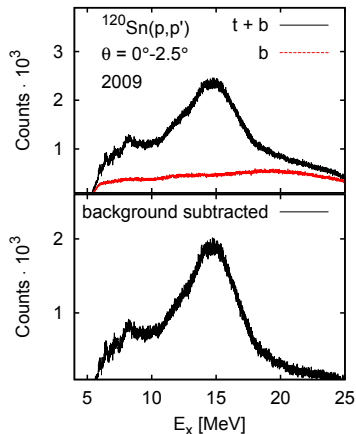
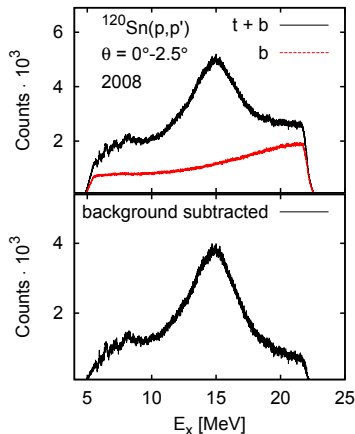
Ergebnisse - Polarisationstransferkoeffizienten für $^{12}\text{C}(\vec{p}, \vec{p}')$ unter 0°



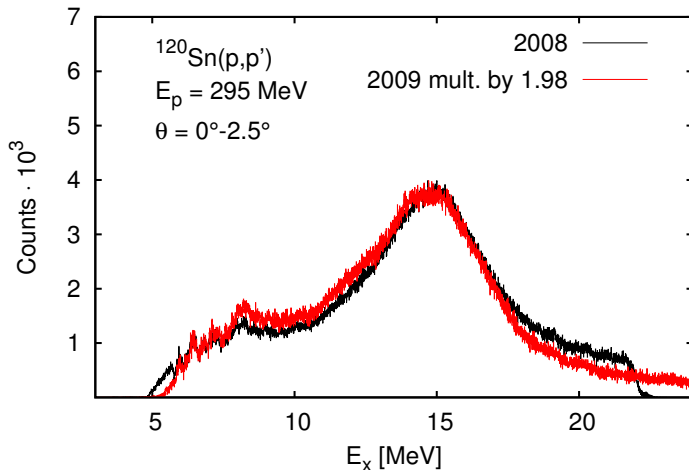
Ergebnisse - Polarisationstransferkoeffizienten für $^{12}\text{C}(\vec{p}, \vec{p}')$ unter 0°



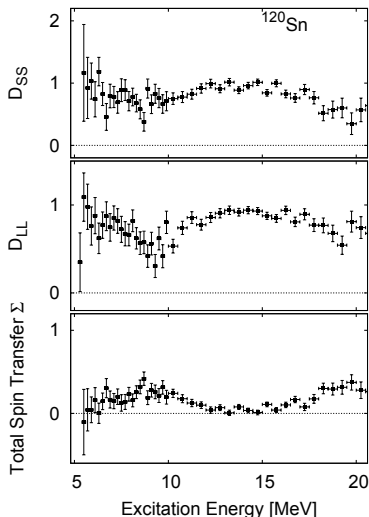
Ergebnisse - $^{120}\text{Sn}(\vec{p}, \vec{p}') \text{ Spektren}$



Ergebnisse - Vergleich der $^{120}\text{Sn}(\vec{p}, \vec{p}')\text{Spektren}$



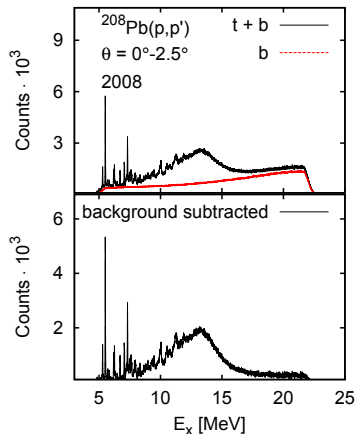
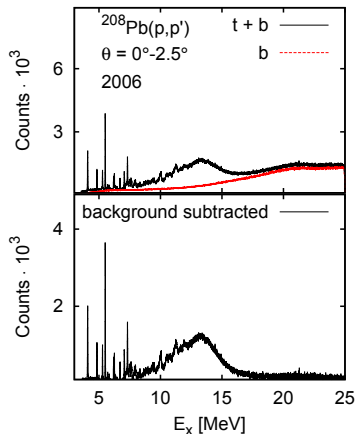
Ergebnisse - Polarisationstransferkoeffizienten für $^{120}\text{Sn}(\vec{p}, \vec{p}')$ unter 0°



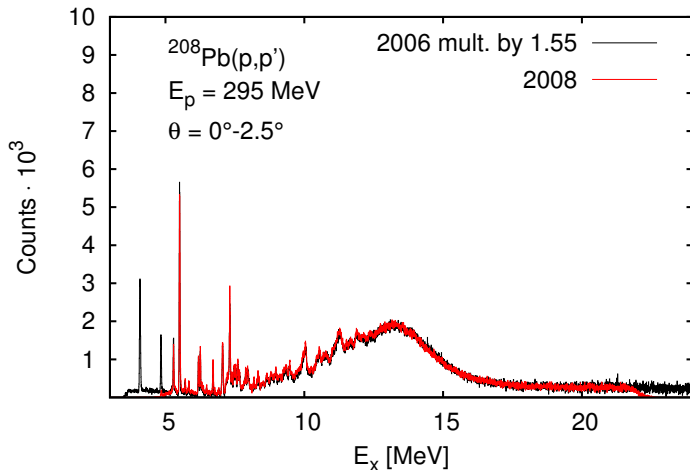
$\Sigma = 1 \rightarrow$ Spinflip

$\Sigma = 0 \rightarrow$ nicht-Spinflip

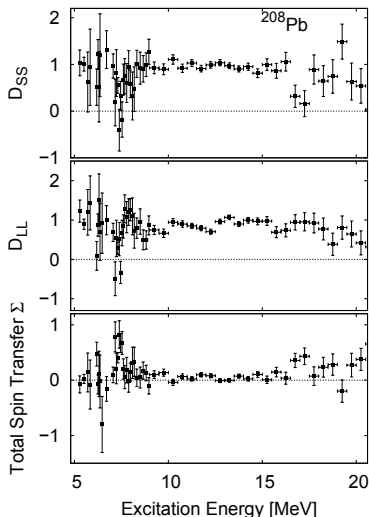
Ergebnisse - $^{208}\text{Pb}(\vec{p}, \vec{p}')$ Spektren



Ergebnisse - Vergleich der $^{208}\text{Pb}(\vec{p}, \vec{p}')$ Spektren



Ergebnisse - Polarisationstransferkoeffizienten für $^{208}\text{Pb}(\vec{p}, \vec{p}')$ unter 0°



$\Sigma = 1 \rightarrow$ Spinflip

$\Sigma = 0 \rightarrow$ nicht-Spinflip



- ▶ Anregungsspektrum von ^{120}Sn in (\vec{p}, \vec{p}')
- ▶ Energieauflösung: $\Delta E = 25 - 30 \text{ keV}$
- ▶ Vergleich mit (γ, γ') Spektrum
- ▶ Polarisationstransferkoeffizienten



- ▶ Anregungsspektrum von ^{120}Sn in (\vec{p}, \vec{p}')
- ▶ Energieauflösung: $\Delta E = 25 - 30 \text{ keV}$
- ▶ Vergleich mit (γ, γ') Spektrum
- ▶ Polarisationstransferkoeffizienten

- ▷ Reanalyse des Untergrunds
- ▷ Bestimmung der Wirkungsquerschnitte
- ▷ Multipolentwicklung der Winkelverteilung
- ▷ Vergleich der $B(E1)$ Stärkeverteilung mit theoretischen Vorhersagen (QPM, RQTBA, ...)
- ▷ Bestimmung der $B_\sigma(M1)$ Stärke
- ▷ ^{144}Sm , ^{154}Sm : Einfluss der Deformation auf Eigenschaften der PDR, Ursache für Doppel-Peak Struktur in Spin M1 Resonanz

Vielen Dank für Ihre Aufmerksamkeit!



EPPS0 Collaborators:

Osaka University

Y. Fujita

University of Tokyo

Y. Sasamoto

IFIC-CSIC, Valencia

B. Rubio

iThembaLABs

R. Neveling, F.D. Smit

Univ. of Witwatersrand

J. Carter

Kyoto University

H. Sakaguchi, J. Zenihiro

Texas A&M University, Commerce, USA

C. Bertulani

RCNP, Osaka University

T. Adachi, H. Fujita, K. Hatanaka, M. Kato,
H. Matsubara, M. Okamura, Y. Sakemi,
Y. Shimizu, Y. Tameshige, A. Tamii, M. Yosoi

IKP, TU Darmstadt

P. von Neumann-Cosel, A. Richter,
N. Pietralla, V. Ponomarev, I. Poltoratska,
A. M. Krumbholz, A. Krugmann,
B. Bozorgian, D. Martin, J. Simonis

Theoretische Grundlagen - Polarisationstransferkoeffizienten (1)

In der PWIA ist die T-Matrix für Nukleon-Kern Streuung gegeben durch

$$T = \langle f | M(q) e^{-i\vec{q}\cdot\vec{r}} | i \rangle$$

mit der Streuamplitude

$$M(q) = A + \frac{1}{3}(B+E+F)\vec{\sigma}_1 \cdot \vec{\sigma}_2 + C(\sigma_1 + \sigma_2) \cdot \hat{n} + \frac{1}{3}(E-B)S_{12}(\hat{q}) + \frac{1}{3}(F-B)S_{12}(\hat{p})$$

Jeder komplexwertige Amplitudenkoeffizient $A - F$ besteht aus einem isoskalaren und isovektoriellen Anteil.

Theoretische Grundlagen - Polarisationstransferkoeffizienten (2)

Die Polarisationstransferkoeffizienten D_{ij} lassen sich mit Hilfe der T-Matrix darstellen:

$$D_{ij} = \frac{\text{Tr}(T\sigma_j T^\dagger \sigma_i)}{\text{Tr}(TT^\dagger)}$$

Für Messungen unter 0° gilt:

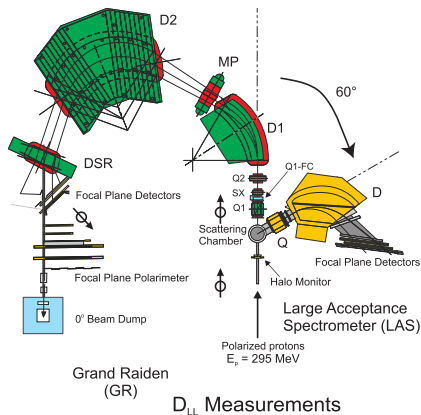
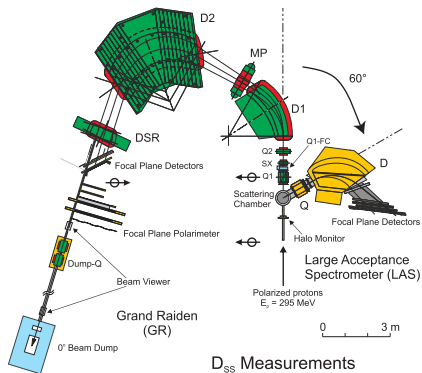
$$D_{SL} = D_{LS} = 0,$$

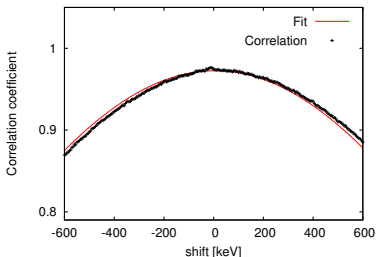
$$D_{SS} = D_{NN} = \frac{(|B_i|^2 - |F_i|^2) X_T^2 - |B_i|^2 X_L^2}{(|B_i|^2 + |F_i|^2) X_T^2 + |B_i|^2 X_L^2},$$

$$D_{LL} = \frac{(-3|B_i|^2 + |F_i|^2) X_T^2 + |B_i|^2 X_L^2}{(|B_i|^2 + |F_i|^2) X_T^2 + |B_i|^2 X_L^2}$$

X_T, X_L : Spin-transversaler und Spin-longitudinaler Formfaktor

Grand Raiden (GR) und Large Acceptance Spektrometer (LAS) Konfiguration für die 0° Messung





- ▶ Energieverschiebung, z.B. durch Drift der Strahlenergie:

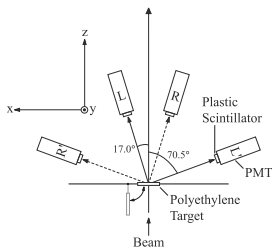
- ▶ Korrelation von ^{120}Sn Spektren

$$r_{xy} = \frac{\sum_{i=1}^n (x_i - \bar{x})(y_i - \bar{y})}{\sqrt{\sum_{i=1}^n (x_i - \bar{x})^2} \sqrt{\sum_{i=1}^n (y_i - \bar{y})^2}}$$

- ▶ Fit an berechnete Koeffizienten

$$C = a \cdot e^{-b \cdot (x - x_0)^2}$$

Bestimmung der Strahlpolarisation - Details



$$\rho_{N(S)} = \frac{1}{A_y^{BLP}} \frac{1 - X_{N(S)}}{1 + X_{N(S)}}$$

$$X_{N(S)} = \sqrt{\frac{N_{L(D)}^{\uparrow} N_{R(U)}^{\downarrow}}{N_{L(D)}^{\downarrow} N_{R(U)}^{\uparrow}}}$$

$$\rho_N = \rho_N^{(1)} = \rho_N^{(2)},$$

$$\rho_S = \rho_S^{(1)},$$

$$\rho_L = \frac{\rho_S^{(1)} \cos \theta - \rho_S^{(2)}}{\sin \theta}$$

- ▶ Präzessionswinkel im Ablenkungsmagnet mit Lorentzfaktor γ und Lande'schem g-Faktor:

$$\theta = \gamma \cdot \left(\frac{g}{2} - 1 \right) \cdot \theta_{BLP}$$

Bestimmung der Polarisationstransferkoeffizienten - Estimator Methode

Effektiver Schätzer $\hat{\epsilon} = \begin{pmatrix} \hat{\epsilon}_n \\ \hat{\epsilon}_s \end{pmatrix} = \mathbf{F}^{-1} \mathbf{B}$ mit

$$\mathbf{B} = \begin{pmatrix} \sum_N \cos \phi_{fpp} \\ \sum_N \sin \phi_{fpp} \end{pmatrix},$$

$$\mathbf{F} = \begin{pmatrix} \sum_N \cos^2 \phi_{fpp} & \sum_N \sin \phi_{fpp} \cos \phi_{fpp} \\ \sum_N \sin \phi_{fpp} \cos \phi_{fpp} & \sum_N \sin^2 \phi_{fpp} \end{pmatrix}$$

- ▶ \sum_N : Summation über alle Events
- ▶ Berechnung statistischer Fehler mit kovarianter Matrix $V(\hat{\epsilon}) = \mathbf{F}^{-1}$